



UNIVERSITÄTS-  
BIBLIOTHEK  
PADERBORN

# **Die Statik der Hochbau-Constructions**

**Landsberg, Theodor**

**Stuttgart, 1899**

b) Schwerpunkte und statische Momente

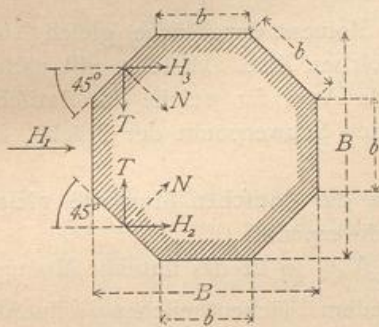
---

[urn:nbn:de:hbz:466:1-77733](https://nbn-resolving.org/urn:nbn:de:hbz:466:1-77733)

Die Kraft  $H$  liegt in der lothrechten Ebene der Axe  $XX$  und greift in halber Höhe des Cylinders an.

c) Winddruck gegen ein regelmässiges achtseitiges Prisma (Fig. 25). Die Breite des umschriebenen Quadrates sei  $B$ , die Seitenlänge der achteckigen Grundfläche sei  $b$ ; dann ist  $b = 0,414 B$ . Der Winddruck gegen die senkrecht getroffene Fläche ist für die Längeneinheit der Höhe

Fig. 25.



$$H_1 = pb,$$

derjenige gegen die unter 45 Grad getroffenen Seitenflächen je

$$N = pb \sin 45^\circ,$$

und die in die Windrichtung fallende Seitenkraft von  $N$  ist

$$H_2 = pb \sin^2 45^\circ = \frac{pb}{2}.$$

Eben so gross ist  $H_3$ ; mithin wird die gesammte Kraft, welche ein Umsturz-Moment erzeugt, für das steigende Meter sein

$$H = H_1 + H_2 + H_3 = 2 pb.$$

Die Mittelkraft aller  $H$  greift, wie oben, in halber Höhe des Prismas an und liegt in der durch die Axe des Prismas und  $H_1$  bestimmten lothrechten Ebene.

Die bisher ganz allgemein und auch in vorstehenden Entwicklungen gemachte Annahme einer gleichmässigen Vertheilung des Winddruckes über eine getroffene ebene Fläche scheint nach den neueren Versuchen und theoretischen Ermittlungen nicht ganz richtig zu sein; demnach ist auch nicht ohne Weiteres richtig, dass die Mittelkraft durch den Schwerpunkt der getroffenen Fläche geht. Es scheint, dass der Druck an den Rändern am kleinsten ist und nach der Mitte der Ebene hin zunimmt. Bis über die Gesetzmässigkeit genauere Angaben vorliegen, wird man jedoch für die Zwecke des Hochbaues unbedenklich die vorgeführten Annahmen den Berechnungen zu Grunde legen können.

### b) Schwerpunkte und statische Momente.

#### 1) Schwerpunkte von ebenen Figuren.

Um den Schwerpunkt einer beliebigen ebenen Figur zu finden, genügt es, zwei Linien zu bestimmen, auf deren jeder der Schwerpunkt liegen muss; alsdann ist der Schnittpunkt beider Linien der gesuchte Schwerpunkt. Werden in der Ebene, in welcher die betreffende Figur liegt, zwei Coordinaten-Axen  $OX$  und  $OY$  beliebig angenommen, so erhält man die Abstände  $x_0$  und  $y_0$  des Schwerpunktes von den beiden Axen  $OY$  und  $OX$  aus den Gleichungen

$$x_0 = \frac{\int x df}{F} \quad \text{und} \quad y_0 = \frac{\int y df}{F}, \quad \dots \dots \dots 10.$$

in denen  $F$  die ganze Querschnittsfläche,  $df$  den Flächeninhalt eines beliebigen Theilchens mit den Coordinaten  $x$  und  $y$  bedeutet und die Summirung über die ganze Fläche auszudehnen ist. Die vorstehenden beiden Gleichungen können hier als aus der Mechanik bekannt vorausgesetzt werden. Man kann statt der unendlich kleinen Theilchen  $df$  Flächentheile  $f$  von endlicher Grösse einführen, also die obigen Gleichungen schreiben:

$$x_0 = \frac{\sum (fx)}{F} \quad \text{und} \quad y_0 = \frac{\sum (fy)}{F}, \quad \dots \dots \dots 11.$$

wenn  $x$  und  $y$  die Schwerpunkts-Coordinten der Flächentheile  $f$  bedeuten.

32.  
Grund-  
gleichungen.

Die Zähler der Gleichungen nennt man die statischen Momente der Fläche, bezogen auf die  $Y$ - und  $X$ -Axe; denn denkt man in jedem Theile der Fläche den Inhalt desselben als Kraft senkrecht zur Ebene der Figur wirkend, so sind die statischen Momente dieser Kräfte für die beiden Axen eben die Zählergrößen obiger Gleichungen.

33.  
Folgerungen.

Aus den Schwerpunktsgleichungen folgt:

α)  $x_0$  wird gleich Null, wenn der Zähler  $\Sigma (fx)$ , bezw.  $\int x df$  gleich Null wird, d. h. für eine Axe, für welche das statische Moment der Fläche gleich Null wird. Der Schwerpunkt liegt demnach auf einer solchen Axe. Dasselbe gilt natürlich für  $y_0$ , so dass man allgemein sagen kann: Jede Axe, für welche das statische Moment einer Fläche gleich Null ist, geht durch den Schwerpunkt der Fläche, ist also, wie man sagt, eine Schwerpunktsaxe.

Man suche daher zwei Axen auf, für welche die statischen Momente gleich Null sind; alsdann ist ihr Schnittpunkt auch der Schwerpunkt.

β) Liegt eine Figur symmetrisch zu einer Axe  $XX$ , so ist das statische Moment  $\int y df$  der Figur für diese Axe gleich Null; denn jedem Flächentheilchen  $f_1$  im Abstande  $y_1$  von der Axe entspricht ein eben so großes Theilchen  $f_1$  im Abstand  $-y_1$  von der Axe; der Beitrag beider Theile zum statischen Momente ist also  $f_1 y_1 - f_1 y_1 = 0$ . Das Gleiche gilt von je zwei anderen Theilen, so dass also das gesammte statische Moment gleich Null wird. Daraus folgt: Jede Symmetrie-Axe einer Fläche ist eine Schwerpunktsaxe.

Hat sonach ein Querschnitt eine Symmetrie-Axe, so ist nur noch die Lage des Schwerpunktes auf derselben zu bestimmen; hat ein Querschnitt zwei Symmetrie-Axen, so ist der Schnittpunkt beider auch der Schwerpunkt.

γ) Nach Gleichung 10 ist  $Fx_0 = \int x df$ . Ist es möglich, die ganze Fläche in eine Anzahl Gruppen  $F_1, F_2, F_3 \dots$  zu zerlegen, von deren jeder der Schwerpunktsabstand ( $x_1, x_2, x_3 \dots$ ) bekannt ist, so muss für diese sein

$$F_1 x_1 = \left( \int x df_1 \right), \quad F_2 x_2 = \left( \int x df_2 \right), \quad F_3 x_3 = \left( \int x df_3 \right), \quad \dots \quad 12.$$

in welchen Ausdrücken sich die Einzelintegrale auf die einzelnen Gruppen beziehen. Dann ist sonach

$$Fx_0 = F_1 x_1 + F_2 x_2 + F_3 x_3 + \dots + F_n x_n,$$

und es wird

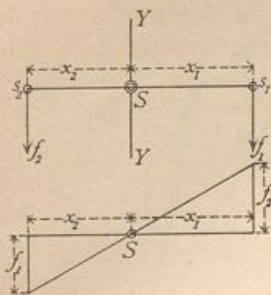
$$x_0 = \frac{F_1 x_1 + F_2 x_2 + F_3 x_3 + \dots + F_n x_n}{F} \quad \dots \quad 13.$$

Es ist sehr oft möglich, die gegebene Figur in Rechtecke, bezw. solche kleinere Figuren zu zerlegen, deren Schwerpunkte bekannt sind und alsdann mit Hilfe obiger Formel die Lage des Gesamtschwerpunktes zu finden.

δ) Der Schwerpunkt  $S$  zweier Flächen  $F_1$  und  $F_2$  (Fig. 26) mit den Schwerpunkten  $s_1$  und  $s_2$  liegt auf der Verbindungslinie  $s_1 s_2$  beider Schwerpunkte. Nennt man nämlich den Abstand des Gesamtschwerpunktes von dieser Verbindungslinie  $y_0$ , so ist  $Fy_0 = F_1 y_1 + F_2 y_2$ . Die Abstände  $y_1$  und  $y_2$  der beiden Schwerpunkte  $s_1$  und  $s_2$  von derselben Axe sind aber gleich Null, weil die Axe durch diese Schwerpunkte gelegt ist. Demnach ist für diese Axe  $Fy_0 = 0$ , also auch  $y_0 = 0$ .

Hieraus folgt weiter, dass, wenn die Schwerpunkte noch weiterer Flächen auf

Fig. 26.



dieser Linie liegen, der Gesamtschwerpunkt gleichfalls auf derselben liegt; kann man also eine Fläche in eine Anzahl Streifen zerlegen, deren Schwerpunkte auf einer geraden Linie liegen, so befindet sich auch der Schwerpunkt der gesammten Fläche auf dieser Linie.

Die Lage des Schwerpunktes auf der Linie  $s_1 s_2$  (Fig. 26) ist leicht zu finden. Werden die Abstände desselben von  $s_1$  und  $s_2$  mit bezw.  $+x_1$  und  $-x_2$  bezeichnet, so muß für eine senkrecht zu  $s_1 s_2$  durch den Schwerpunkt  $S$  gelegte Axe  $YY$  sein

$$0 = f_1 x_1 - f_2 x_2 \quad \text{oder} \quad \frac{x_1}{x_2} = \frac{f_2}{f_1}.$$

Daraus ergibt sich die nachfolgende Construction.

Man errichte in  $s_1$  eine Senkrechte, welche  $f_2$  Flächeneinheiten in beliebigem Maßstabe enthält, in  $s_2$  eine Senkrechte, jedoch nach entgegengesetzter Seite, welche  $f_1$  Flächeneinheiten in demselben Maßstabe enthält, und verbinde die Endpunkte; alsdann schneidet diese Verbindungslinie die Axe  $s_1 s_2$  im Schwerpunkte  $S$ .

## 2) Schwerpunkte von einfachen Figuren.

α) Schwerpunkt eines Quadrates, Rechteckes, Parallelogrammes, Kreises und einer Ellipse. Jede dieser Figuren hat wenigstens zwei Symmetrie-Axen, bezw. Halbierungslinien, in deren Schnittpunkt der Schwerpunkt sich befindet.

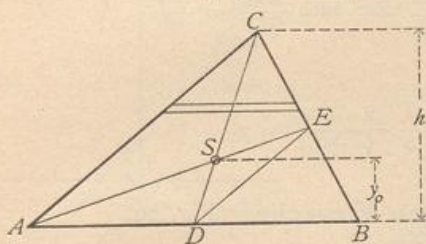
34.  
Regelmäßige  
Figuren.

Demnach liegt er beim Rechteck und Quadrat in der Mitte der Höhe und Breite, beim Parallelogramm im Schnittpunkte der Halbierungslinien der Seiten und beim Kreise und bei der Ellipse im Mittelpunkte.

β) Schwerpunkt eines Dreieckes (Fig. 27).

35.  
Dreieck.

Fig. 27.



Zerlegt man die Dreiecksfläche durch Linien, welche einer Seite ( $AB$  in Fig. 27) parallel sind, in eine Anzahl sehr schmaler Streifen, so liegt der Schwerpunkt eines jeden Streifens in der Mitte seiner Breite, und nach der Folgerung unter  $\delta$  in Art. 33 liegt der Gesamtschwerpunkt auf der Verbindungslinie der Schwerpunkte aller Streifen. Der Schwerpunkt liegt also auf der Linie  $CD$ , welche die Mitte  $D$  einer Dreiecksseite mit der gegenüber liegenden Ecke ( $C$ ) verbindet. Aus demselben Grunde liegt er auch auf der Linie  $AE$ , wenn  $CE = EB$  ist. Der Schwerpunkt  $S$  ist der Schnittpunkt beider. Da aber  $DE$  und  $AC$  parallel sind, so ist

$$\frac{\overline{DS}}{\overline{SC}} = \frac{\overline{DE}}{\overline{CA}} = \frac{1}{2} \quad \text{und} \quad \overline{DS} = \frac{\overline{SC}}{2} = \frac{\overline{CD}}{3}.$$

Daraus folgt, daß der senkrechte Abstand des Schwerpunktes  $S$  von der Grundlinie  $AB$  des Dreieckes ein Drittel der Höhe ist, d. h. es ist

$$y_0 = \frac{h}{3}.$$

Da jede Seite des Dreieckes als Grundlinie angesehen werden kann, so liegt  $S$  auch auf einer Parallelen zu  $BC$ , deren senkrechter Abstand ein Drittel desjenigen beträgt, in welchem  $A$  von  $BC$  liegt. Das Gleiche gilt von  $AC$ , bezw.  $B$ . Mittels dieses Gesetzes können daher leicht zwei Linien gezeichnet werden, auf denen der Schwerpunkt liegt.

γ) Schwerpunkt eines Parallel-Trapezes (Fig. 28).

Der Schwerpunkt des Trapezes in Fig. 28 liegt auf der Verbindungslinie der beiden Punkte  $E$  und  $F$ , welche die beiden parallelen Seiten halbiren. Ferner ist

$$F y_0 = \int y df.$$

36.  
Parallel-  
Trapez.

Nennt man die Breite eines Streifens  $z$  und seine Höhe  $dy$ , so ist

$$df = z dy, \quad z = b - \frac{b-a}{h} y \quad \text{und} \quad F = (a+b) \frac{h}{2};$$

folglich

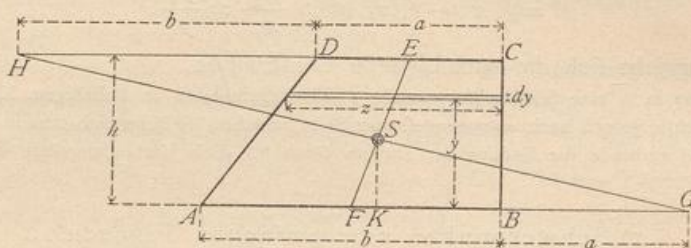
$$F y_0 = \int_0^h \left( b y - \frac{b-a}{h} y^2 \right) dy = \frac{b h^2}{2} - \frac{(b-a) h^3}{3},$$

und

$$y_0 = \frac{h}{3} \frac{(2a+b)}{(a+b)}.$$

Daraus ergibt sich die folgende Construction.

Fig. 28.



Man halbire die beiden parallelen Seiten in  $E$  und  $F$ , trage  $BG = a$  und  $DH = b$  nach rechts, bezw. links in den Verlängerungen der beiden parallelen Seiten auf und ziehe  $HG$ ; alsdann ist der Schnittpunkt von  $HG$  mit  $EF$  der Schwerpunkt  $S$ . Denn es ist

$$\frac{\overline{SF}}{\overline{EF}} = \frac{a + \frac{b}{2}}{a + \frac{b}{2} + b + \frac{a}{2}} = \frac{2a + b}{3(a+b)}, \quad \text{aber auch} \quad \frac{\overline{SF}}{\overline{EF}} = \frac{\overline{SK}}{h}$$

mithin ist

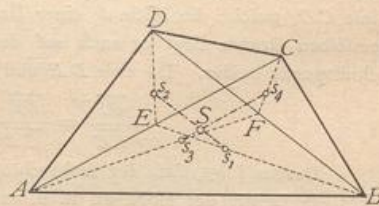
$$\frac{\overline{SK}}{h} = \frac{2a + b}{3(a+b)} \quad \text{und} \quad \overline{SK} = \frac{h}{3} \frac{(2a + b)}{(a+b)} = y_0.$$

Der Punkt  $S$  ist also in der That der Schwerpunkt.

δ) Schwerpunkt eines unregelmäßigen Viereckes (Fig. 29).

Um den Schwerpunkt des unregelmäßigen Viereckes  $ABCD$  zu bestimmen, ziehe man die Gerade  $AC$  und ermittle die Schwerpunkte  $s_1$  und  $s_2$  der beiden Dreiecke  $ACB$  und  $ACD$ , wie unter β gezeigt; alsdann liegt der Gesamtschwerpunkt auf der Linie  $s_1 s_2$ . Nun ziehe man  $BD$  und ermittle die Schwerpunkte  $s_3$  und  $s_4$  der beiden Dreiecke  $ABD$  und  $BCD$ ; alsdann liegt der Gesamtschwerpunkt auch auf der Linie  $s_3 s_4$ . Demnach ist der Schnittpunkt der beiden Linien  $s_1 s_2$  und  $s_3 s_4$  der gesuchte Schwerpunkt.

Fig. 29.



In ganz ähnlicher Weise kann man weiter verfahren, wenn es sich um den Schwerpunkt eines Vieleckes handelt, welches in Dreiecke zerlegt werden kann. Doch wird in einem solchen Falle vielfach das unten vorzuführende graphische Verfahren bequemer sein.

ε) Schwerpunkt eines Kreisabschnittes (Fig. 30).

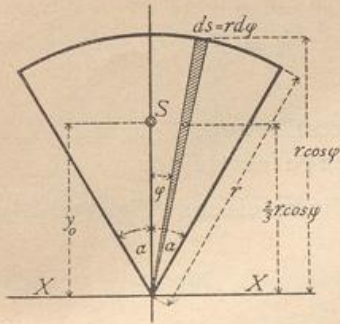
37.  
Unregelmäßiges  
Viereck.

Der ganze zum Kreisabschnitt gehörige Winkel sei  $2\alpha$ ; die Halbierungslinie des Winkels ist eine Symmetrie-Axe, enthält also den Schwerpunkt; somit ist nur noch der Abstand desselben vom Kreismittelpunkte oder, was dasselbe befragt, von einer durch diesen senkrecht zur Winkelhalbierenden gelegten Axe  $XX'$  zu suchen.

Für den zu einem Bogenstück  $ds = r d\varphi$  gehörigen Theil des Abschnittes (Fig. 30), welcher als

38.  
Kreisabschnitt.

Fig. 30.



Dreieck aufgefasst werden kann, ist der Schwerpunktsabstand von der Axe  $XX$ :  $y = \frac{2}{3} r \cos \varphi$ , der Flächeninhalt

$$df = ds \frac{r}{2} = \frac{r^2 d\varphi}{2};$$

mithin ist

$$y_0 = \frac{\int_{-\alpha}^{+\alpha} y df}{F} = \frac{2 \int_0^{\alpha} y df}{F} = \frac{2}{3} \frac{r^3 \int_0^{\alpha} \cos \varphi d\varphi}{r^2 \alpha}$$

$$y_0 = \frac{2}{3} \frac{r \sin \alpha}{\alpha} \dots \dots \dots 14.$$

Für den Halbkreis wird  $\alpha = \frac{\pi}{2}$  und  $\sin \alpha = 1$ , fonach

$$y_0 = \frac{4r}{3\pi} = 0,425 r.$$

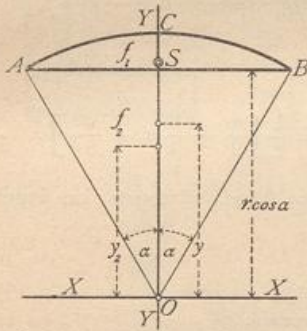
Für den Viertelkreis ist  $\alpha = \frac{\pi}{4}$ , daher  $y_0 = \frac{4\sqrt{2}}{3\pi} r = 0,6 r$ .

Für den Sechstelkreis ist  $\alpha = \frac{\pi}{6}$ , mithin  $y_0 = \frac{2}{\pi} r = 0,637 r$ .

ζ) Schwerpunkt eines Kreisabschnittes (Fig. 31).

39. Kreisabschnitt.

Fig. 31.



Der Schwerpunkt des Kreisabschnittes liegt zunächst wieder auf der Winkelhalbirenden; ferner ist aber nach der Folgerung δ in Art. 33 (S. 26), wenn  $F$  der Flächeninhalt des Kreisabschnittes  $ACBO$ ,  $y$  der Abstand des Schwerpunktes dieser Fläche von  $XX$  ist, wenn ferner  $f_1$  und  $f_2$  die Flächeninhalte des Kreisabschnittes  $ACB$ , bzw. des Dreieckes  $ABO$  und  $y_1$ , bzw.  $y_2$  die Schwerpunktsabstände dieser Flächen von  $XX$  sind,

$$Fy = f_1 y_1 + f_2 y_2 \text{ oder } y_1 = \frac{Fy - f_2 y_2}{f_1}.$$

Nun ist  $F = r^2 \alpha$ ,  $y = \frac{2}{3} \frac{r \sin \alpha}{\alpha}$  und  $f_2 = r^2 \sin \alpha \cos \alpha$ ;

ferner

$$y_2 = \frac{2}{3} r \cos \alpha \text{ und } f_1 = r^2 (\alpha - \sin \alpha \cos \alpha);$$

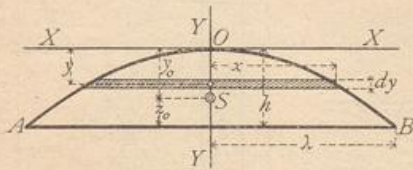
mithin wird

$$y_1 = \frac{\frac{2}{3} r \sin^3 \alpha}{\alpha - \frac{\sin 2\alpha}{2}} \dots \dots \dots 15.$$

η) Schwerpunkt einer Parabelfläche (Fig. 32).

40. Parabelfläche

Fig. 32.



Die Gleichung der Parabel  $AOB$ , bezogen auf  $O$  als Anfangspunkt der Coordinaten-Axen, ist

$$\frac{x^2}{\lambda^2} = \frac{y}{h}.$$

Der Schwerpunkt der Fläche  $AOB$  liegt zunächst auf der Symmetrie-Axe  $YY$ ; der Abstand desselben von  $XX$  ist

$$y_0 = \frac{\int y df}{F} = \frac{\int y dy}{\int dy}.$$

Es ist  $df = 2x dy$ ,  $y = \frac{hx^2}{\lambda^2}$  und  $dy = \frac{2xh}{\lambda^2} dx$ , also  $df = \frac{4x^2 h}{\lambda^2} dx$ , somit

$$y_0 = \frac{\frac{4h^2}{\lambda^4} \int_0^{\lambda} x^4 dx}{\frac{4h}{\lambda^2} \int_0^{\lambda} x^2 dx} = \frac{h}{\lambda^2} \frac{3}{5} \lambda^2 = \frac{3}{5} h.$$

Der Schwerpunkt liegt also vom Scheitel  $O$  um

$$y_0 = \frac{3}{5} h \dots \dots \dots 16.$$

entfernt.

von der Linie  $AB$  um

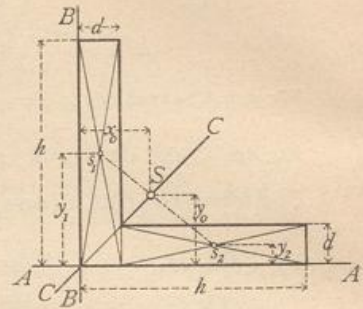
$$x_0 = \frac{2}{5} h \dots \dots \dots 17.$$

3) Schwerpunkte von Querschnittsflächen, die aus einfachen Figuren zusammengesetzt sind.

41. Gleichschenkeliges Winkeleisen.

α) Schwerpunkt des gleichschenkeligen Winkeleisens (Fig. 33). Auf die Ausrundung im Winkel und die Abrundung der Ecken soll keine Rücksicht genommen werden; dieselbe kann sowohl bei dieser, wie bei den folgenden Querschnittsformen meistens unbeachtet gelassen werden.

Fig. 33.



Der Abstand des Schwerpunktes  $S$  von  $AA$ , bzw.  $BB$  ist

$$y_0 = x_0 = \frac{\Sigma (fy)}{F} = \frac{f_1 y_1 + f_2 y_2}{f_1 + f_2}.$$

Hierin ist  $f_1$  der Flächeninhalt des lothrecht,  $f_2$  derjenige des wagrecht gezeichneten Schenkels, bei letzterem nach Abzug des Flächentheiles, der mit dem lothrechten Schenkel zusammenfällt;  $y_1$  und  $y_2$  sind die Abstände der Schwerpunkte von  $AA$ .

Eine angenäherte, fast stets genügend genaue Formel wird folgendermaßen gefunden<sup>13)</sup>. Es ist

$$y_0 = \frac{\frac{dh \cdot h}{2} + (h-d) \frac{d^2}{2}}{2dh - d^2} = \frac{h^2 + (h-d)d}{2(2h-d)} = \frac{h^2 + hd - d^2}{2(2h-d)} = \frac{1}{2} \left[ \frac{h}{2} + \frac{3}{4}d - \frac{d^2}{8h} \right].$$

Innerhalb der für  $\frac{d}{h}$  vorkommenden Grenzen liegt  $\frac{d^2}{2 \cdot 8h}$  zwischen 0,0125 und 0,00625, hat sonach etwa den Mittelwerth 0,009. Wird dieser eingeführt, so erhält man

$$y_0 = x_0 = \frac{h}{4} + 0,366 d.$$

Sehr leicht kann der Schwerpunkt durch Construction gefunden werden.

Man zerlege den Querschnitt in zwei Rechtecke, ermittle ihre Schwerpunkte  $s_1$  und  $s_2$ , die nach Art. 33 (unter δ) die Schnittpunkte der Diagonalen sind; dann liegt der Gesamtschwerpunkt auf der Linie  $s_1 s_2$ ; da er auch auf der Symmetrie-Axe  $CC$  liegt, so ist der Schnittpunkt  $S$  der genannten beiden Linien der gefuchte Schwerpunkt.

Beispiel. Es sei die Schenkellänge  $h = 10$  cm und die Dicke  $d = 1$  cm; alsdann ist  $f_1 = 10$  qcm,  $f_2 = 9$  qcm,  $y_1 = 5$  cm und  $y_2 = 0,5$  cm; sonach

$$y_0 = \frac{10 \cdot 5 + 9 \cdot 0,5}{10 + 9} = 2,87 \text{ cm} = x_0.$$

Die angenäherte Formel giebt

$$y_0 = 2,5 + 0,366 = 2,866 \text{ cm} = x_0.$$

42. Ungleichschenkeliges Winkeleisen.

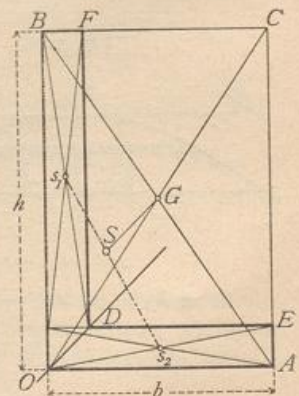
β) Schwerpunkt des ungleichschenkeligen Winkeleisens (Fig. 34).

Hier ist keine Symmetrie-Axe vorhanden; man muß also  $x_0$  und  $y_0$  getrennt berechnen. Es ist

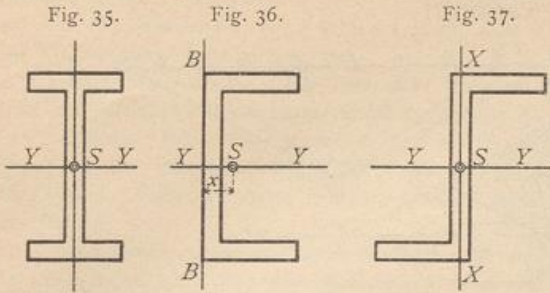
$$x_0 = \frac{f_1 x_1 + f_2 x_2}{f_1 + f_2} \quad \text{und} \quad y_0 = \frac{f_1 y_1 + f_2 y_2}{f_1 + f_2}.$$

Die Construction des Schwerpunktes ist in ähnlicher Weise möglich, wie unter α<sup>13)</sup>. Man ermittelt zunächst  $s_1$  und  $s_2$ , wie oben; alsdann liegt der Gesamtschwerpunkt auf  $s_1 s_2$ . Der Querschnitt kann

Fig. 34.



<sup>13)</sup> Siehe: ZIMMERMANN. Ueber Winkeleisen-Querschnitte. Centralbl. d. Bauverw. 1885, S. 33.



Parallele zu  $OD$ ; alsdann ist der Schnittpunkt dieser mit  $s_1 s_2$  der gefuchte Schwerpunkt.

Fig. 38.

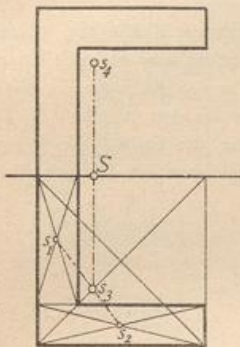


Fig. 39.

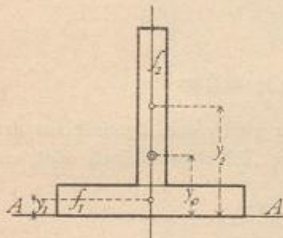
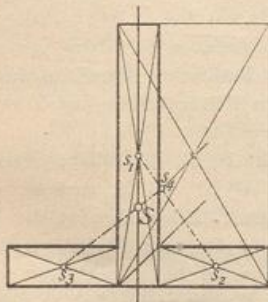


Fig. 40.



Abstände der Schwerpunkte derselben von der Axe  $XX$  bzw.  $y_1, y_2, y_3 \dots y_n$ ; alsdann ist das statische Moment der ganzen Fläche nach Obigem

$$M = f_1 y_1 + f_2 y_2 + f_3 y_3 + \dots + f_n y_n.$$

ferner als Differenz der beiden Rechtecke  $OACB$  und  $DECF$  betrachtet werden; der Schwerpunkt liegt also auf der Verbindungslinie der Schwerpunkte dieser beiden Rechtecke; da diese Schwerpunkte jedoch sehr nahe zusammenfallen, so ergibt sich die Richtung der Verbindungslinie nicht genügend genau. Nun muß aber die Verbindungslinie zur Linie  $OD$  parallel sein; man ziehe also durch den Schwerpunkt  $G$  des umschriebenen Rechteckes  $OACB$  die

γ) Schwerpunkt des I-Eisens (Fig. 35).

Der Schwerpunkt ist der Schnittpunkt beider Symmetrie-Axen.

δ) Schwerpunkt des C-Eisens (Fig. 36 u. 38).

Der Schwerpunkt liegt auf der wagrechten Symmetrie-Axe im Abstände  $x_0$  von  $BB$ ;  $x_0$  ist nach obiger Gleichung aufzufinden, durch Construction wie folgt. Die wagrechte Symmetrie-Axe theilt das C-Eisen in zwei Theile, deren jeder einen Winkeleisen-Querschnitt darstellt. Man ermittelt ihre Schwerpunkte  $s_3$  und  $s_4$ ; wie eben gezeigt wurde, ist der Gesamtschwerpunkt der Schnittpunkt der Linie  $s_3 s_4$  mit der Symmetrie-Axe.

ε) Schwerpunkt des Z-Eisens (Fig. 37).

Der Schwerpunkt fällt mit demjenigen des lothrechten Rechteckes, des sog. Steges, zusammen; denn fowohl für die Axe  $XX$ , wie für die Axe  $YY$  ist das statische Moment der beiden wagrechten Rechtecke zusammen gleich Null; dieselben sind also ohne Einfluß auf die Schwerpunktlage. Dabei ist vorausgesetzt, daß dieselben gleichen Flächeninhalt haben.

ζ) Schwerpunkt des T-Eisens (Fig. 39 u. 40).

Der Schwerpunkt liegt auf der Symmetrie-Axe im Abstände  $y_0$  von der Axe  $AA$ , und es ist

$$y_0 = \frac{f_1 y_1 + f_2 y_2}{f_1 + f_2}.$$

Durch Construction ist derselbe folgendermaßen zu finden. Man zerlege den Querschnitt in drei Rechtecke, ein lothrechtes und zwei wagrechte. Die Schwerpunkte seien  $s_1, s_2, s_3$ . Das lothrechte und das eine wagrechte Rechteck bilden zusammen einen Winkeleisenquerschnitt, dessen Schwerpunkt  $s_4$ , wie unter β angegeben, zu finden ist. Dann liegt der Gesamtschwerpunkt auf der Linie  $s_3 s_4$ , ferner auch auf der lothrechten Symmetrie-Axe, also auf dem Schnittpunkt  $S$  dieser beiden Linien.

4) Graphische Ermittlung der statischen Momente und der Schwerpunkte von Flächen.

Wenn die Figur, deren statisches Moment, bzw. deren Schwerpunkt ermittelt werden soll, eine unregelmäßige Form hat, so ist die graphische Behandlung der Aufgabe zu empfehlen.

Man zerlege die ganze Figur in Streifen, welche derjenigen Axe parallel laufen, für welche das statische Moment gefucht wird (Fig. 41).

Es seien die Flächeninhalte der einzelnen Streifen  $f_1, f_2, f_3 \dots f_n$ , die

43-  
I-Eisen.

44-  
C-Eisen.

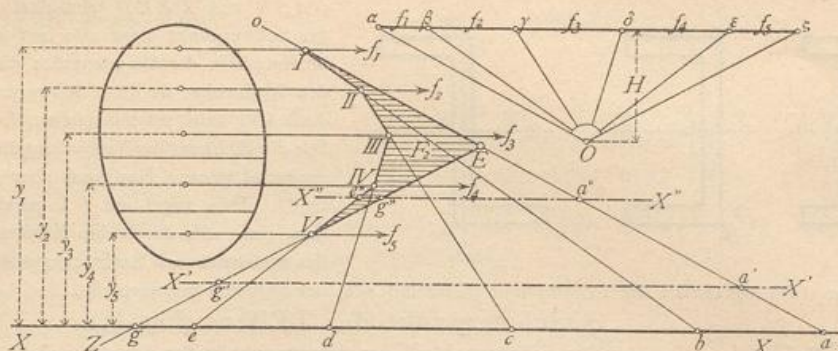
45-  
Z-Eisen.

46-  
T-Eisen.

47-  
Statisches  
Moment.



Fig. 41.



Man führe nun die einzelnen Flächengrößen als parallel zur Axe  $XX$  wirkende Kräfte ein, welche in den Einzelschwerpunkten angreifen, füge sie zu einer Kraftlinie zusammen, indem man sie nach einem beliebigen, jedoch für alle gleichen Maßstabe aufrägt. Es sei  $\alpha\beta = f_1$ ,  $\beta\gamma = f_2$ ,  $\gamma\delta = f_3 \dots$ . Nun nehme man im Abstände  $H$  von dieser Kraftlinie einen Pol  $O$  an und construire das den Werthen  $f_1, f_2, f_3 \dots$  und diesem Pol entsprechende Seilpolygon  $oI II III \dots$ . Verlängert man die Seilpolygon-Seiten, welche die erste Kraft  $f_1$  begrenzen, bis zum Schnitte mit der Axe  $XX$ , so erhält man ein Dreieck  $Iab$ , und es ist

$$\triangle Iab \sim \triangle O\alpha\beta,$$

da die Seiten dieser Dreiecke einander bzw. parallel sind; in Folge dessen ist

$$\frac{\overline{ab}}{y_1} = \frac{\overline{\alpha\beta}}{H} = \frac{f_1}{H}, \text{ d. h. } H \cdot \overline{ab} = f_1 y_1.$$

Der Abschnitt  $\overline{ab}$  der die Kraft  $f_1$  begrenzenden Seilpolygon-Seiten auf der Axe  $XX$  multiplicirt mit dem Polabstand  $H$  giebt sonach das statische Moment von  $f_1$  für diese Axe.

Eben so ist

$$\triangle IIbc \sim \triangle O\beta\gamma;$$

also

$$\frac{\overline{bc}}{y_2} = \frac{\overline{\beta\gamma}}{H} = \frac{f_2}{H}, \quad H \cdot \overline{bc} = f_2 y_2 \quad \text{und} \quad H \cdot \overline{cd} = f_3 y_3 \quad \text{u. f. w.}$$

Das statische Moment der ganzen Fläche für die Axe  $XX$  ist daher gleich dem Product aus dem Stück  $ag$ , welches von den beiden äußersten Seilpolygon-Seiten auf der Axe  $XX$  abge schnitten wird, und dem Polabstand  $H$ , oder es ist

$$H \cdot \overline{ag} = \Sigma (f y).$$

Für die Anwendung ist zu beachten: Die Abschnitte  $ab, bc, cd \dots$  auf der Axe  $XX$  liegen in den Dreiecken  $Iab, IIbc$ , bedeuten demnach Längen; die Werthe von  $H$  dagegen sind auf dieselbe Einheit zu beziehen, wie die Größen  $f_1, f_2, f_3 \dots$ , bedeuten also Flächen. Daher ist  $H$  auf dem Flächenmaßstabe,  $\overline{ab}, \overline{bc}, \overline{cd} \dots$  hingegen sind auf dem Längenmaßstabe zu messen.

Beim Zerlegen der betreffenden Figur in parallele Streifen müssen dieselben so schmal gewählt werden, daß man mit genügender Genauigkeit die einzelnen Streifen als Rechtecke, Parallelogramme, Paralleltrapeze, überhaupt als solche einfache Figuren ansehen kann, deren Flächeninhalte und Schwerpunktlagen leicht bestimmt werden können.

Handelt es sich um das statische Moment der Fläche für die Axe  $X'X'$ , so ist dasselbe offenbar gleich  $H \cdot \overline{a'g'}$ . Rückt aber die Axe zwischen die Kräfte  $f$ , etwa nach  $X''X''$ , so ist zunächst das statische Moment der oberhalb liegenden Flächentheile gleich  $H \cdot \overline{a''e''}$ ; im statischen Moment der gesammten Fläche ist aber auch der Beitrag der an der anderen Seite der Axe gelegenen Theile enthalten, welche einen negativen Beitrag liefern, weil die  $y$ -Werthe für dieselben von der Axe  $X''X''$  aus nach unten gerechnet werden müssen; die von der Axe nach oben gerechneten Werthe der  $y$  sind ja positiv eingeführt. Demnach liefert hier  $f_5$  ein statisches Moment gleich  $-H \cdot \overline{g''e''}$ , und daher ist das statische Moment der ganzen Fläche, bezogen auf die Axe  $X''X''$ , gleich  $H \cdot \overline{a''g''}$ .

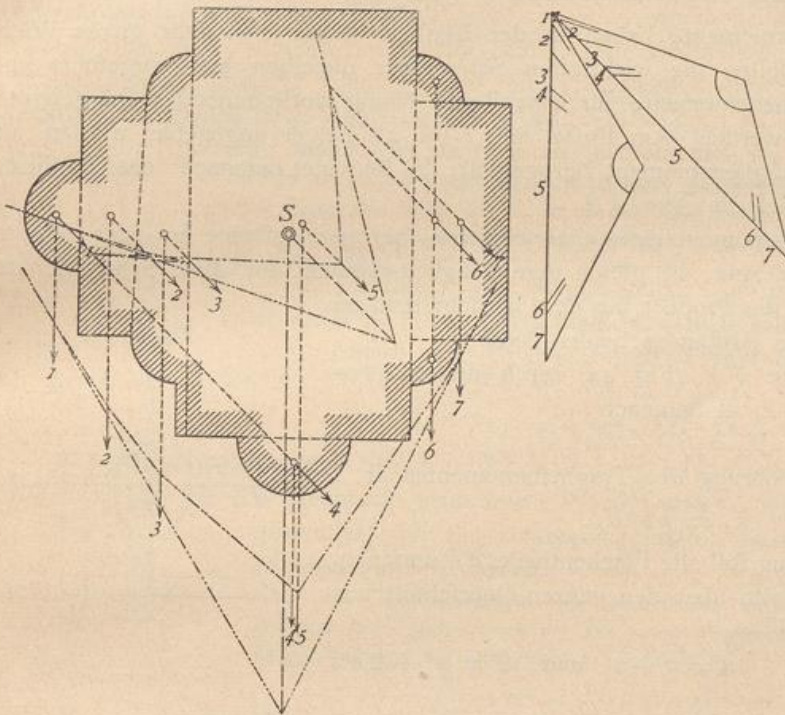
Demnach ist allgemein nachgewiesen: Das statische Moment einer Fläche  $F$ , bezogen auf eine Axe  $XX$ , wird erhalten, wenn man das von den beiden äußersten Seilpolygon-Seiten auf dieser Axe ab-

geschnittene Stück ( $ag$ , bzw.  $a'g'$ ,  $a''g''$ ) mit dem Polabstand  $H$  multiplicirt. Dabei muß das Stück  $ag$  auf dem Längenmaßstabe, der Polabstand  $H$  auf dem Flächenmaßstabe gemessen werden, nach welchem die Werthe von  $f$  aufgezeichnet sind.

Rückt die Axe  $XX$  weiter nach oben, so wird das von den äußersten Seilpolygon-Seiten auf derselben abgeschnittene Stück immer kleiner; geht die Axe durch den Schnittpunkt  $E$  der äußersten Seilpolygon-Seiten, so ist das abgeschnittene Stück gleich Null; also wird auch das statische Moment in Bezug auf diese Axe gleich Null; dieselbe ist also eine Schwerpunktsaxe. Hieraus folgt: Die durch den Schnittpunkt  $E$  der äußersten Seilpolygon-Seiten parallel zu  $XX$  gelegte Axe enthält den Schwerpunkt der Fläche.

Das soeben gefundene Ergebnis folgt auch mit Nothwendigkeit aus nachstehender Ueberlegung. Da die Flächen als Kräfte eingeführt sind, so kann man annehmen, diese Kräfte seien die Gewichte der einzelnen Theile einer an allen Stellen gleich starken Platte, welche dieselbe Form hat, wie die gegebene

Fig. 42.



Fläche, und in eben solche Theile getheilt ist, wie diese. Um die wirklichen Gewichte zu erhalten, braucht man nur alle Werthe  $f$  mit demselben Factor  $\gamma$ , dem Gewichte der Flächeneinheit, zu multipliciren. Da man aber die Platte aus beliebigem Material hergestellt und beliebig stark annehmen kann, so ist  $\gamma$  ganz beliebig, kann also auch gleich 1 gesetzt werden; die Werthe  $f$  können demnach auch als die Gewichte selbst angesehen werden. Die Mittelkraft aller dieser parallel gerichteten Kräfte geht demnach durch den Schwerpunkt der Fläche; sie geht aber auch durch den Schnittpunkt der äußersten Seilpolygon-Seiten und

ist der Richtung der anderen Kräfte parallel. Die durch diesen Schnittpunkt parallel zur Axe  $XX$  gezogene Linie ist also die Mittelkraft nach Richtung und Lage und geht durch den Schwerpunkt. Das Gleiche gilt von jeder anderen beliebigen Lage, welche für die Richtung der Axe, also auch der Kräfte angenommen wird. Man kann demnach leicht noch eine zweite Axe finden, auf welcher der Schwerpunkt liegt; der Schnittpunkt beider Axen ist dann der gesuchte Schwerpunkt.

Die gezeigte graphische Ermittlung des Schwerpunktes ist besonders bei unregelmäßigen Querschnitten empfehlenswerth; Fig. 42 zeigt diese Bestimmung für den Querschnitt eines Vierungspfeylers.

### c) Trägheitsmomente und Centrifugalmomente.

Wird jedes Theilchen  $df$  einer Querschnittsfläche  $F$  mit dem Product  $uv$  seiner senkrecht genommenen Abstände von zwei Axen  $AA$  und  $BB$  multiplicirt (Fig. 43) und die Summe aller dieser Producte gezogen, so erhält man einen Ausdruck

$$\mathcal{F}_{AB} = \int uv df,$$